

Dernière mise à jour des informations: Février 2025

Configuration du produit: QI31

QI31: Panneau 1200x300 mm - neutral white - écran opale - DALI



Référence produit

QI31: Panneau 1200x300 mm - neutral white - écran opale - DALI

Description technique

Appareil 1200x300 mm pour installation posée sur panneaux modulaires, coloris neutral white 4000K. Le groupe optique se compose d'une collerette en tôle d'acier blanche, d'un écran diffuseur en méthacrylate satiné pour émission éclairage général et d'une plaque de fermeture arrière en tôle. Les LED sont disposées sur le pourtour et le driver DALI est logé dans la partie supérieure du produit. Possibilité d'installation encastrée ou en suspension avec accessoire à commander séparément. Versions de plafond sur demande uniquement.

Installation

À poser sur panneaux modulaires 1200x300mm. Encastré avec accessoire à commander séparément, en suspension avec accessoire à commander séparément.

Coloris

Blanc (01)

Poids (Kg)

4,3

Montage

encastré au plafond|en saillie au plafond|suspendu

Câblage

Le produit comprend les composants électroniques

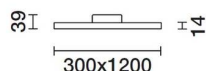
Conforme à la norme EN60598-1 et à la réglementation en vigueur (ou à la réglementation relative)



IP20

IP40

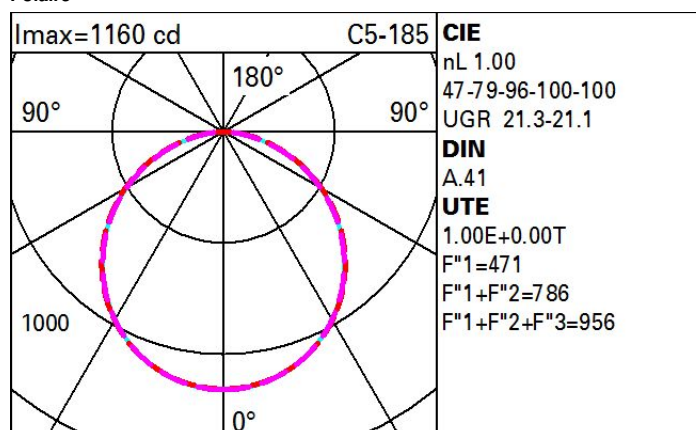
Sur la partie visible
du produit une fois installé



Données techniques

| | | | |
|-----------------------------------------------------|------|--------------------------------------|---------------------------------|
| Im du système: | 3300 | IRC (minimum): | 90 |
| W du système: | 37.5 | Température de couleur [K]: | 4000 |
| Im source: | - | Durée de vie LED 1: | > 50,000h - L80 - B10 (Ta 25°C) |
| W source: | - | Code Lampe: | LED |
| Efficacité lumineuse (Im/W, 88 valeurs du système): | | Nombre de lampes par groupe optique: | 1 |
| Im en mode secours: | - | Code ZVEI: | LED |
| Flux total émis à un angle de 90° ou plus [Lm]: | 0 | Nombre de groupes optiques: | 1 |
| Light Output Ratio (L.O.R.) [%]: | 100 | Control: | DALI-2 |

Polaire



Coefficients d'utilisation

| R | 77 | 75 | 73 | 71 | 55 | 53 | 33 | 00 | DRR |
|------|-----|----|----|----|----|----|----|----|-----|
| K0.8 | 65 | 55 | 47 | 42 | 53 | 47 | 46 | 39 | 39 |
| 1.0 | 72 | 62 | 55 | 49 | 61 | 54 | 53 | 46 | 46 |
| 1.5 | 83 | 74 | 68 | 63 | 73 | 67 | 66 | 59 | 59 |
| 2.0 | 89 | 82 | 77 | 72 | 80 | 75 | 74 | 68 | 68 |
| 2.5 | 92 | 87 | 82 | 78 | 85 | 81 | 79 | 74 | 74 |
| 3.0 | 95 | 90 | 86 | 83 | 88 | 85 | 83 | 78 | 78 |
| 4.0 | 98 | 94 | 91 | 88 | 92 | 89 | 88 | 83 | 83 |
| 5.0 | 100 | 97 | 94 | 92 | 95 | 92 | 91 | 86 | 86 |

Courbe limite de luminance

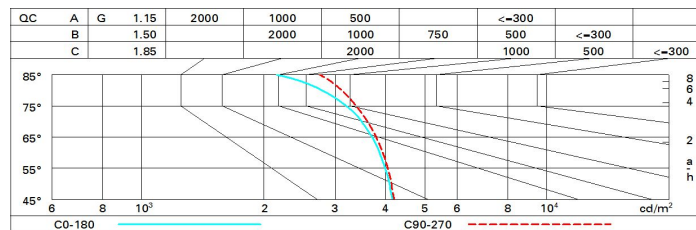


Diagramme UGR

| Corrected UGR values (at 3300 lm bare lamp luminous flux) | | | | | | | | | | | |
|------------------------------------------------------------------|------|---------------------|------|------|------|------|-------------------|------|------|------|------|
| Reflect.: ceiling/cav walls work pl. Room dim x y | | 0.70 | 0.70 | 0.50 | 0.50 | 0.30 | 0.70 | 0.70 | 0.50 | 0.50 | 0.30 |
| | | 0.50 | 0.30 | 0.50 | 0.30 | 0.30 | 0.50 | 0.30 | 0.50 | 0.30 | 0.30 |
| | | 0.20 | 0.20 | 0.20 | 0.20 | 0.20 | 0.20 | 0.20 | 0.20 | 0.20 | 0.20 |
| | | viewed crosswise | | | | | viewed endwise | | | | |
| 2H | 2H | 17.5 | 18.7 | 17.8 | 18.9 | 19.2 | 17.6 | 18.8 | 17.9 | 19.0 | 19.3 |
| | 3H | 19.1 | 20.1 | 19.4 | 20.4 | 20.7 | 18.1 | 19.1 | 18.4 | 19.4 | 19.7 |
| | 4H | 19.6 | 20.6 | 20.0 | 20.9 | 21.3 | 18.3 | 19.3 | 18.6 | 19.6 | 19.9 |
| | 6H | 20.1 | 21.0 | 20.5 | 21.3 | 21.7 | 18.3 | 19.3 | 18.7 | 19.6 | 19.9 |
| | 8H | 20.2 | 21.1 | 20.6 | 21.4 | 21.8 | 18.3 | 19.2 | 18.7 | 19.6 | 19.9 |
| | 12H | 20.3 | 21.1 | 20.7 | 21.5 | 21.9 | 18.3 | 19.2 | 18.7 | 19.5 | 19.9 |
| 4H | 2H | 18.2 | 19.2 | 18.6 | 19.5 | 19.8 | 19.8 | 20.8 | 20.2 | 21.1 | 21.4 |
| | 3H | 19.9 | 20.8 | 20.3 | 21.1 | 21.5 | 20.5 | 21.3 | 20.9 | 21.7 | 22.1 |
| | 4H | 20.6 | 21.4 | 21.1 | 21.8 | 22.2 | 20.8 | 21.5 | 21.2 | 21.9 | 22.3 |
| | 6H | 21.2 | 21.8 | 21.6 | 22.2 | 22.7 | 21.0 | 21.7 | 21.4 | 22.1 | 22.5 |
| | 8H | 21.3 | 22.0 | 21.8 | 22.4 | 22.8 | 21.1 | 21.7 | 21.5 | 22.1 | 22.5 |
| | 12H | 21.4 | 22.0 | 21.9 | 22.4 | 22.9 | 21.1 | 21.6 | 21.5 | 22.1 | 22.5 |
| 8H | 4H | 20.9 | 21.5 | 21.4 | 22.0 | 22.4 | 21.6 | 22.2 | 22.1 | 22.7 | 23.1 |
| | 6H | 21.6 | 22.1 | 22.1 | 22.6 | 23.1 | 22.0 | 22.5 | 22.5 | 22.9 | 23.4 |
| | 8H | 21.8 | 22.3 | 22.3 | 22.8 | 23.3 | 22.1 | 22.6 | 22.6 | 23.0 | 23.5 |
| | 12H | 22.0 | 22.4 | 22.5 | 22.9 | 23.4 | 22.2 | 22.6 | 22.7 | 23.1 | 23.6 |
| 12H | 4H | 20.9 | 21.5 | 21.4 | 21.9 | 22.4 | 21.8 | 22.3 | 22.2 | 22.8 | 23.2 |
| | 6H | 21.7 | 22.1 | 22.2 | 22.6 | 23.1 | 22.2 | 22.6 | 22.7 | 23.1 | 23.6 |
| | 8H | 21.9 | 22.3 | 22.5 | 22.8 | 23.3 | 22.4 | 22.7 | 22.9 | 23.2 | 23.7 |
| Variations with the observer position at spacing: | | | | | | | | | | | |
| S = | 1.0H | 0.1 / -0.1 | | | | | 0.1 / -0.1 | | | | |
| | 1.5H | 0.3 / -0.4 | | | | | 0.3 / -0.3 | | | | |
| | 2.0H | 0.4 / -0.5 | | | | | 0.4 / -0.5 | | | | |